



Laboratorium EMVO Sp. J. Urbański, Pawelak  
ul. Jasna 1  
00-013 Warszawa

tel. +48 22 780 29 64

e-mail: laboratorium@emvo.pl



AB 1630

## Sprawozdanie z pomiarów pól elektromagnetycznych - środowisko nr 07/08/OŚ/2023– P4



<b>Nr i nazwa stacji</b>	<b>ELB0010A</b>	
<b>Adres</b>	<b>Elbląg, Pokorna 2, pow. Elbląg, woj. warmińsko-mazurskie</b>	
<b>Opracowanie</b>	<b>Justyna Karczmarczyk</b>	<b>Specjalista ds. pomiarów</b>
<b>Autoryzacja</b>	<b>Andrzej Urbański</b>	<b>Kierownik Laboratorium</b>
<b>Podpis</b>		
<b>Data</b>	<b>2023-08-07</b>	

## Spis treści

1. Informacje ogólne.....	3
2. Podstawa prawna. ....	3
3. Opis pomiarów .....	3
4. Zróżnicowanie dopuszczalne poziomy pól elektromagnetycznych. ....	5
5. Charakterystyka źródeł PEM. ....	6
6. Wyniki pomiarów.....	6
7. Stwierdzenie zgodności.....	6
8. Oświadczenie.....	8
9. Spis załączników. ....	9

## 1. Informacje ogólne.

Zleceniodawca	<b>P4 sp. z o.o.,</b> ul. Wynałazek 1, 02-677 Warszawa osoba udzielająca informacji – Magdalena Sokół
Istotne informacje dostarczone przez klienta	komplet informacji niezbędnych do wykonania pomiarów i opracowania sprawozdania
Dane otrzymane od klienta mogące mieć wpływ na ważność wyników	Dane anten sektorowych, dane anten radioliniowych, parametry pracy instalacji, ustawienie pochylenia anten
Prowadzący instalację	P4 sp. z o.o., ul. Wynałazek 1, 02-677 Warszawa
Lokalizacja obiektu	Elbląg, Pokorna 2, pow. Elbląg, woj. warmińsko-mazurskie
Miejsce instalacji anten	Dach budynku
Miejsce instalacji urządzeń	Outdoor
Osoby wykonujące pomiar	Roman Murawski
Data wykonania pomiaru	07.08.2023
Temperatura na początku pomiaru [°C]	16,0
Temperatura na koniec pomiaru [°C]	16,0
Warunki atmosferyczne	Brak opadów
Wilgotność na początku pomiaru [%]	60,0
Wilgotność na koniec pomiaru [%]	60,0
Godzina na początku pomiaru	9:46
Godzina na koniec pomiaru	11:36
Inne źródła pól elektromagnetycznych oznaczone na załączniku graficznym	Występują
Parametry pracy instalacji	Tryb eksploatacyjny

## 2. Podstawa prawna.

### 2.1 Normy i rozporządzenia:

- Obwieszczenie Ministra Klimatu i Środowiska z dnia 21 listopada 2022 r. w sprawie ogłoszenia jednolitego tekstu rozporządzenia Ministra Klimatu w sprawie sposobów sprawdzania dotrzymania dopuszczalnych poziomów pól elektromagnetycznych w środowisku (Dz.U. 2022 poz. 2630)
- Rozporządzenie Ministra Zdrowia z dnia 17 grudnia 2019 r. w sprawie dopuszczalnych poziomów pól elektromagnetycznych w środowisku (Dz.U. 2019 poz. 2448)
- Obwieszczenie Marszałka Sejmu Rzeczypospolitej Polskiej z dnia 1 grudnia 2022 r. w sprawie ogłoszenia jednolitego tekstu ustawy - Prawo ochrony środowiska (Dz.U. 2022 poz. 2556).

### 3. Opis pomiarów

Metodologia pomiarowa	Pomiary w oparciu o Rozporządzenie Ministra Klimatu z dnia 17 lutego 2020 r. w sprawie sposobów sprawdzania dotrzymania dopuszczalnych poziomów pól elektromagnetycznych w środowisku (Dz.U. 2022 poz. 2630).
Cel badań	Określenie wartości natężenia pola elektrycznego w miejscach dostępnych dla ludności.
Opis zestawu pomiarowego	Miernik Narda NBM 550, Sonda EF-6092, o zakresie pomiarowym 0,7 V/m – 300V/m pracująca w paśmie 0,1 – 90 GHz, świadectwo wydane przez Laboratorium Wzorców i Metrologii Pola Elektromagnetycznego, Instytut Telekomunikacji, Teleinformatyki i Akustyki Politechniki Wrocławskiej. Świadectwo ważne do 10.06.2024 r. Miernik Narda NBM 550, Sonda EF-6092 pracująca w zakresie temperatury -10°C - +50°C oraz wilgotności 5% - 95% Niepewność rozszerzona wynosi 56,6% przy poziomie ufności 95% z uwzględnieniem współczynnika rozszerzenia k=2.
Wyposażenie pomocnicze	Termohigrometr Bestone, Nr. inwentarzowy 03/WL, nr identyfikacyjny 1222436, typ: GM1362-EN-00, świadectwo wzorcowania z dn. 22.12.2015 r. wydane przez Laboratorium Pomiarowe „MUTECH”. Przymiar wstępowy STABILA, Nr. inwentarzowy 06/WL, nr identyfikacyjny 06WL, świadectwo wzorcowania z dn. 22.09.2021 r. wydane przez Zespół Laboratoriów wzorcujących Okręgowego Urzędu Miar w Gdyni. GPS Garmin 64s okresowo sprawdzany w punktach osnowy geodezyjnej klasy 3 na podstawie licencji punktu, zgodnie z procedurą sprawdzeń okresowych IS/PO-16-11/03.
Pomiary zostały wykonane	<ol style="list-style-type: none"><li>1. na głównych i pomocniczych kierunkach pomiarowych, na kierunkach zbliżonych do azymutów anten oraz w dodatkowych pionach pomiarowych zgodnie z wymaganiami pkt 12, 13, 14 i 19 Rozporządzenia Ministra Klimatu z dnia 17 lutego 2020 r. (Dz.U. 2022 poz. 2630). Wybór i lokalizacja pionów pomiarowych, w tym znajdujących się wewnątrz lokali, zostały ustalone zgodnie z procedurą laboratorium nr PP-7.3/7.4/7.5-11, z uwzględnieniem: rodzaju badanej instalacji (w tym parametrów technicznych instalacji), lokalizacji badanej instalacji, ukształtowania terenu wokół badanej instalacji.</li><li>2. na obszarze pomiarowym, dla którego, na podstawie uprzednio przeprowadzonych obliczeń stwierdzono w miejscach dostępnych dla ludności występowanie pól elektromagnetycznych o najwyższym poziomie, które pochodzą z badanej instalacji zgodnie z wymaganiami pkt 5 ppkt 2 oraz pkt 13 ppkt 1 Rozporządzenia Ministra Klimatu z dnia 17 lutego 2020 r. w sprawie sposobów sprawdzania dotrzymania dopuszczalnych poziomów pól elektromagnetycznych w środowisku (Dz.U. 2022 poz. 2630). Wyniki obliczeń nie uwzględniały parametrów pracy instalacji innych operatorów występujących na obiekcie bądź w obszarze pomiarowym.</li><li>3. w miejscach dostępnych dla ludności.</li><li>4. miejsca niedostępne podczas wykonywania pomiarów wskazane zostały w pkt 6 (tabeli wyniki pomiarów)</li><li>5. w dodatkowych pionach pomiarowych w lokalach oraz na balkonach i tarasach, na których mogą przebywać ludzie, po poinformowaniu o planowanych pomiarach z minimum 3-dniowym wyprzedzeniem i po umożliwieniu dostępu do lokalu, balkonu lub tarasu przez jego</li></ol>

dysponenta lub bez zachowania terminu wskazanego w pierwszej części zdania za zgodą dysponenta przestrzeni pomiarowej.

Sposób powiadamiania dysponentów

Zgodnie z pkt 14 Rozporządzenia Ministra Klimatu z dnia 17 lutego 2020 r. w sprawie sposobów sprawdzania dotrzymania dopuszczalnych poziomów pól elektromagnetycznych w środowisku (Dz.U. 2022 poz. 2630). poinformowano dysponentów lokali o planowanych pomiarach.

Informacji dokonano między innymi poprzez:

1. bloki mieszkalne – zawiadomienie spółdzielni mieszkaniowej, zarządcy nieruchomości, zarządu wspólnoty, umieszczenie informacji o planowanych pomiarach na tablicach ogłoszeń w klatkach schodowych bloków lub na drzwiach wejściowych,
2. biurowce, budynki użyteczności publicznej itp. - przekazanie zawiadomienia do administracji lub recepcji obiektu,
3. domy jednorodzinne, szeregowce itp. - pozostawienie informacji w skrynkach pocztowych itp. lub przekazanie osobiste.

Warunki pracy urządzeń nadawczych

Tryb pracy eksploatacyjny.

#### 4. Zróżnicowanie dopuszczalne poziomy pól elektromagnetycznych.

Zakresy znajdują się w Dzienniku Ustaw z dnia 17 grudnia 2019 r. przedstawione są w tabeli nr 2 (Dz. U. z 2019r. poz. 2448).

Parametr fizyczny Zakres Częstotliwości pola elektromagnetycznego	Składowa elektryczna E (V/m)	Składowa magnetyczna H (A/m)	Gęstość mocy S (W/m <sup>2</sup> )
od 400 MHz do 2000 MHz	$1,375 \times f^{0,5}$	$0,0037 \times f^{0,5}$	f / 200
od 2 GHz do 300 GHz	61	0,16	10

## 5. Charakterystyka źródeł PEM.

Zgodnie z informacją otrzymaną od Klienta pomiary zostały wykonane przy ustawieniach pochylenia anten zgodnych z pkt. 13, ppkt 2 Rozporządzenia Ministra Klimatu z dnia 17 lutego 2020 roku.

Tabela 1. Anteny sektorowe - dane otrzymane od klienta

Charakterystyka promieniowania		kierunkowa																	
Rzeczywisty czas pracy [h/dobę]		24																	
Rodzaj wytwarzanego pola		stacjonarne																	
Lp	Wyszczególnienie	sektor 1					sektor 2					sektor 3							
I	<b>Nadajnik stacji bazowej:</b>																		
1	Typ / Producent	DBS / SRAN Huawei																	
2	Częstotliwość (pasmo) MHz	2100	1800	900	2600	800	2100	1800	900	2600	800	2100	1800	900	2600	800			
3	Maksymalna moc nadawana na sektor [dBm]	52,04	52,04	47,78	52,04	49,03	52,04	52,04	47,78	52,04	49,03	52,04	52,04	47,78	52,04	49,03			
II	<b>Obciążenie:</b>																		
1	Typ anteny	Huawei ATR451606			Huawei ATR4518R6			Huawei ATR451606			Huawei ATR4518R6			Huawei ATR451606			Huawei ATR4518R6		
2	Producent anteny	Huawei			Huawei			Huawei			Huawei			Huawei			Huawei		
3	Ilość anten	1			1			1			1			1			1		
4	Azymut	0					120					240							
5	Zakres kątów pochylenia anten [°]	0,00-10,00					0,00-10,00					0,00-10,00							
6	Średni kąt pochylenia anten [°]	5,0					5,0					5,0							
7	Wysokość zainst. n.p.t. [m]	21,30					17,80					21,30							
8	EIRP [W]	16872			11769			17047			11769			16872			11769		

Tabela 2. Anteny radioliniowe- dane otrzymane od klienta

Charakterystyka promieniowania				kierunkowa			
Rzeczywisty czas pracy [h/dobę]				24			
Rodzaj wytwarzanego pola				stacjonarne			
Lp	Linia radiowa			Antena			
	typ/producent	częstotliwość pracy [GHz]	moc wyjściowa [dBm]	typ/producent	średnica anteny [m]	azymut [°]	wysokość zainstal. [m]
1	OPTIX RTN/HUAWEI	80	18	A80S03/Huawei	0,3	27	17,30
2	OPTIX RTN/HUAWEI	80	18	VHLP1-80/Andrew	0,3	275	17,60
3	OPTIX RTN/HUAWEI	80	18	VHLP1-80/Andrew	0,3	320	17,60

## 6. Wyniki pomiarów.

Wyniki pomiarów pól elektromagnetycznych dla celów ochrony środowiska przedstawia poniższa tabela. Piony pomiarowe zostały przedstawione w zał. 2.

Nr PP	Pole-E [V/m]	Pole-E, +U [V/m]	Pole-H [A/m]	Pole-H +U [A/m]	Wys. pomiaru [m]	Opis pionu	Uwagi	WM <sub>E</sub>	WM <sub>H</sub>
1	2,5	3,92	0,007	0,010	0,3-2,0	N:54°10'46,4" E:19°24'13,5"	otoczenie stacji bazowej - 25m wzdłuż gł. osi promieniowania - GKP	0,140	0,142
2	2,1	3,29	0,006	0,009	0,3-2,0	N:54°10'47,2" E:19°24'13,5"	otoczenie stacji bazowej - 50m wzdłuż gł. osi promieniowania - GKP	0,117	0,119
3	1,9	2,98	0,005	0,008	0,3-2,0	N:54°10'47,9" E:19°24'13,4"	otoczenie stacji bazowej - 75m wzdłuż gł. osi promieniowania - GKP	0,106	0,108
4	2,2	3,45	0,006	0,009	0,3-2,0	N:54°10'48,8" E:19°24'13,5"	otoczenie stacji bazowej - 100m wzdłuż gł. osi promieniowania - GKP	0,123	0,125

„Bez pisemnej zgody Laboratorium niniejsze sprawozdanie nie może być powielane inaczej, jak tylko w całości. Ponadto wyniki dotyczą tylko badanych obiektów przywołanych w niniejszym sprawozdaniu z badań”

5	2,9	4,54	0,008	0,012	0,3-2,0	N:54°10'49,6" E:19°24'13,5"	otoczenie stacji bazowej - 125m wzdłuż gł. osi promieniowania - GKP	0,162	0,165
6	3,2	5,01	0,008	0,013	0,3-2,0	N:54°10'50,1" E:19°24'13,6"	otoczenie stacji bazowej - 140m wzdłuż gł. osi promieniowania - GKP	0,179	0,182
7	2,5	3,92	0,007	0,010	0,3-2,0	N:54°10'43,6" E:19°24'16,4"	otoczenie stacji bazowej - 50m wzdłuż gł. osi promieniowania - GKP	0,140	0,142
8	1,2	1,88	0,003	0,005	0,3-2,0	N:54°10'42,8" E:19°24'18,9"	otoczenie stacji bazowej - 100m wzdłuż gł. osi promieniowania - GKP	0,067	0,068
9	3,1	4,85	0,008	0,013	0,3-2,0	N:54°10'42,0" E:19°24'21,3"	otoczenie stacji bazowej - 150m wzdłuż gł. osi promieniowania - GKP	0,173	0,176
10	1,6	2,51	0,004	0,007	0,3-2,0	N:54°10'41,6" E:19°24'22,5"	otoczenie stacji bazowej - 175m wzdłuż gł. osi promieniowania - GKP	0,089	0,091
11	0,7*	1,25	0,002	0,003	0,3-2,0	N:54°10'43,6" E:19°24'11,0"	otoczenie stacji bazowej - 50m wzdłuż gł. osi promieniowania - GKP	0,045	0,046
12	0,9	1,41	0,002	0,004	0,3-2,0	N:54°10'42,9" E:19°24'08,7"	otoczenie stacji bazowej - 100m wzdłuż gł. osi promieniowania - GKP	0,050	0,051
13	1,6	2,51	0,004	0,007	0,3-2,0	N:54°10'42,1" E:19°24'06,1"	otoczenie stacji bazowej - 150m wzdłuż gł. osi promieniowania - GKP	0,089	0,091
14	1,9	2,98	0,005	0,008	0,3-2,0	N:54°10'41,4" E:19°24'03,8"	otoczenie stacji bazowej - 200m wzdłuż gł. osi promieniowania - GKP	0,106	0,108
15	1,0	1,57	0,003	0,004	0,3-2,0	N:54°10'40,9" E:19°24'02,6"	otoczenie stacji bazowej - 225m wzdłuż gł. osi promieniowania - GKP	0,056	0,057
16	0,7*	1,25	0,002	0,003	0,3-2,0	N:54°10'44,6" E:19°24'08,9"	otoczenie stacji bazowej - 85m wzdłuż gł. osi promieniowania - GKP	0,045	0,046
17	0,7*	1,25	0,002	0,003	0,3-2,0	N:54°10'48,0" E:19°24'10,1"	otoczenie stacji bazowej - 100m wzdłuż gł. osi promieniowania - GKP	0,045	0,046
18	0,7*	1,25	0,002	0,003	0,3-2,0	N:54°10'49,4" E:19°24'08,1"	otoczenie stacji bazowej - 150m wzdłuż gł. osi promieniowania - GKP	0,045	0,046
19	1,2	1,88	0,003	0,005	0,3-2,0	N:54°10'46,4" E:19°24'16,1"	otoczenie stacji bazowej -PKP	0,067	0,068
20	1,4	2,19	0,004	0,006	0,3-2,0	N:54°10'45,8" E:19°24'18,4"	otoczenie stacji bazowej -PKP	0,078	0,080
21	3,2	5,01	0,008	0,013	0,3-2,0	N:54°10'45,1" E:19°24'16,0"	otoczenie stacji bazowej -PKP	0,179	0,182
22	1,5	2,35	0,004	0,006	0,3-2,0	N:54°10'41,4" E:19°24'14,4"	otoczenie stacji bazowej -PKP	0,084	0,085
23	1,0	1,57	0,003	0,004	0,3-2,0	N:54°10'42,7" E:19°24'13,9"	otoczenie stacji bazowej -PKP	0,056	0,057
24	1,3	2,04	0,003	0,005	0,3-2,0	N:54°10'41,7" E:19°24'12,1"	otoczenie stacji bazowej -PKP	0,073	0,074
25	1,0	1,57	0,003	0,004	0,3-2,0	N:54°10'45,9" E:19°24'10,0"	otoczenie stacji bazowej -PKP	0,056	0,057
26	1,6	2,51	0,004	0,007	0,3-2,0	N:54°10'46,1" E:19°24'11,2"	otoczenie stacji bazowej -PKP	0,089	0,091
A	4,2	6,58	0,011	0,017	0,3-2,0	N:54°10'43,7" E:19°24'11,7"	Pokorna 1/3, piętro 4, klatka schodowa, pomiar w otworze okiennym - DPP	0,235	0,239
	2,9	4,54	0,008	0,012	0,3-2,0		Pokorna 1/3, piętro 3, klatka schodowa, pomiar w otworze okiennym - DPP	0,162	0,165
B	1,9	2,98	0,005	0,008	0,3-2,0	N:54°10'45,0" E:19°24'13,9"	Pokorna 2, piętro 4, klatka schodowa, pomiar w otworze okiennym - DPP	0,106	0,108
	1,6	2,51	0,004	0,007	0,3-2,0		Pokorna 2, piętro 3, klatka schodowa, pomiar w otworze okiennym - DPP	0,089	0,091
C	3,5	5,48	0,009	0,015	0,3-2,0	N:54°10'46,5" E:19°24'11,2"	Pokorna 11, piętro 4, mieszkanie 12, pomiar w otworze okiennym - DPP	0,196	0,199
	2,1	3,29	0,006	0,009	0,3-2,0		Pokorna 11, mieszkanie 8, pomiar na balkonie- DPP	0,117	0,119
D	2,1	3,29	0,006	0,009	0,3-2,0	N:54°10'46,5" E:19°24'15,1"	Pokorna 4, piętro 2, mieszkanie 7, pomiar w otworze okiennym - DPP	0,117	0,119

E	4,5	7,05	0,012	0,019	0,3-2,0	N:54°10'50,5" E:19°24'13,5"	Jana Matejki 6, piętro 3, mieszkanie 18, pomiar na balkonie- DPP	0,252	0,256
	3,6	5,64	0,010	0,015	0,3-2,0		Jana Matejki 6, piętro 2, mieszkanie 16, pomiar w otworze okiennym - DPP	0,201	0,205
F	3,0	4,70	0,008	0,012	0,3-2,0	N:54°10'43,7" E:19°24'07,8"	Topolowa 2, piętro 3, mieszkanie 12, pomiar w otworze okiennym - DPP	0,168	0,171
	3,2	5,01	0,008	0,013	0,3-2,0		Topolowa 2, piętro 2, mieszkanie 9, pomiar w otworze okiennym - DPP	0,179	0,182
G	1,8	2,82	0,005	0,007	0,3-2,0	N:54°10'41,3" E:19°24'01,6"	Robotnicza 169, piętro 1, mieszkanie 6, pomiar w otworze okiennym - DPP	0,101	0,102
	1,3	2,04	0,003	0,005	0,3-2,0		Robotnicza 169, parter, pomiar w otworze okiennym - DPP	0,073	0,074
H	2,9	4,54	0,008	0,012	0,3-2,0	N:54°10'40,8" E:19°24'23,8"	Juliana Fałata 103, piętro 1, mieszkanie 4, pomiar w otworze okiennym - DPP	0,162	0,165
	1,0	1,57	0,003	0,004	0,3-2,0		Juliana Fałata 103, parter, mieszkanie 2, pomiar w otworze okiennym - DPP	0,056	0,057

Wynik pomiaru pole - E [V/m] - maksymalna wartość chwilowa zmierzona w danym pionie pomiarowym (uśredniona na podstawie punktu 11 załącznika do Rozporządzenia Ministra Klimatu z dnia 17 lutego 2020 r. w sprawie sposobów sprawdzania dotrzymania dopuszczalnych poziomów pól elektromagnetycznych w środowisku (Dz.U. 2022 poz. 2630)). Zgodnie z pkt. 7 załącznika do Rozporządzenia Ministra Klimatu z dnia 17 lutego 2020 r. w sprawie sposobów sprawdzania dotrzymania dopuszczalnych poziomów pól elektromagnetycznych w środowisku (Dz.U. 2022 poz. 2630) nie stosuje się poprawek pomiarowych.

Przyjęto najniższą dopuszczalną wartość składowej elektrycznej pola dla objętego pomiarami zakresu częstotliwości  $\min(ME_{gr}) = 28 \text{ V/m}$  oraz składowej magnetycznej  $\min(MH_{gr}) = 0,073 \text{ A/m}$ .

\* - wartość zmierzona poniżej zakresu akredytacji. Do obliczeń przyjęto wartość zgodną z dolną granicą akredytowanego zakresu pomiarowego metody.

GKP - główne kierunki pomiarowe

PKP - pomocnicze kierunki pomiarowe

DPP - dodatkowe punkty pomiarowe

PP - pion pomiarowy

U - niepewność pomiarowa rozszerzona, przy poziomie ufności 95%, z uwzględnieniem współczynnika rozszerzenia  $k=2$

$WM_E$  - wartość wskaźnikowa poziomu emisji pól elektromagnetycznych dla miejsc dostępnych dla ludności dla składowej elektrycznej pola

$WM_H$  - wartość wskaźnikowa poziomu emisji pól elektromagnetycznych dla miejsc dostępnych dla ludności dla składowej magnetycznej pola

## 7. Stwierdzenie zgodności

Na podstawie wytycznych podanych w Rozporządzeniu Ministra Zdrowia z dnia 17 grudnia 2019 r. w sprawie dopuszczalnych poziomów pól elektromagnetycznych w środowisku (Dz.U. 2019 poz. 2448) oraz sposobów sprawdzania dotrzymania tych poziomów zgodnie z Rozporządzeniem Ministra Klimatu z dnia 17 lutego 2020 r. w sprawie sposobów sprawdzania dotrzymania dopuszczalnych poziomów pól elektromagnetycznych w środowisku (Dz.U. 2022 poz. 2630), dotyczących źródła wymagań, które muszą być spełnione, w oparciu o zasadę podejmowania decyzji zgodną z pkt. 26 Rozporządzenia Ministra Klimatu z dnia 17 lutego 2020 r. (Dz.U. 2022 poz. 2630), na podstawie wyników pomiarów pól elektromagnetycznych wykonanych w dniu 07.08.2023 stwierdzono, że wszystkie wyniki przeprowadzonych pomiarów w danym obszarze pomiarowym oraz wyznaczone na tej podstawie wskaźniki  $WME$  oraz  $WMH$  są mniejsze od wartości dopuszczalnych – zgodnie z przepisami wydanymi na podstawie art. 122 ust. 1 ustawy z dnia 27 kwietnia 2001 r. – Prawo ochrony środowiska – załącznikiem do Rozporządzenia Ministra Klimatu i Środowiska z dnia 17 lutego 2020 r. w sprawie sposobów sprawdzania dotrzymania dopuszczalnych poziomów pól elektromagnetycznych w środowisku (Dz.U. 2022 poz. 2630, pkt 26).



## 8. Oświadczenie.

Wyniki badania odnoszą się wyłącznie do badanego obiektu.

Bez pisemnej zgody sprawozdanie nie może być powielane inaczej, jak tylko w całości.

Uwagi i zastrzeżenia przyjmowane są w formie pisemnej w ciągu 14 dni od daty otrzymania sprawozdania.

## 9. Spis załączników.

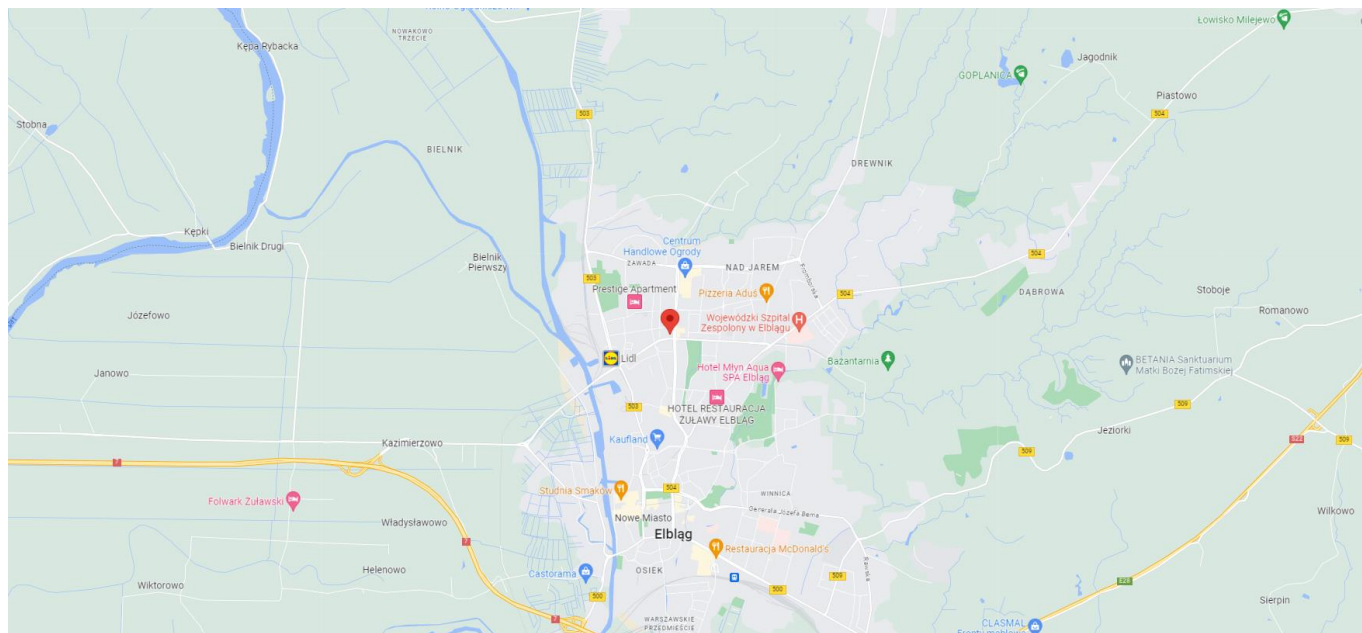
Zał. 1. Lokalizacja obiektu.

Zał. 2. Widok pionów pomiarowych

Zał. 3. Załączniki graficzne

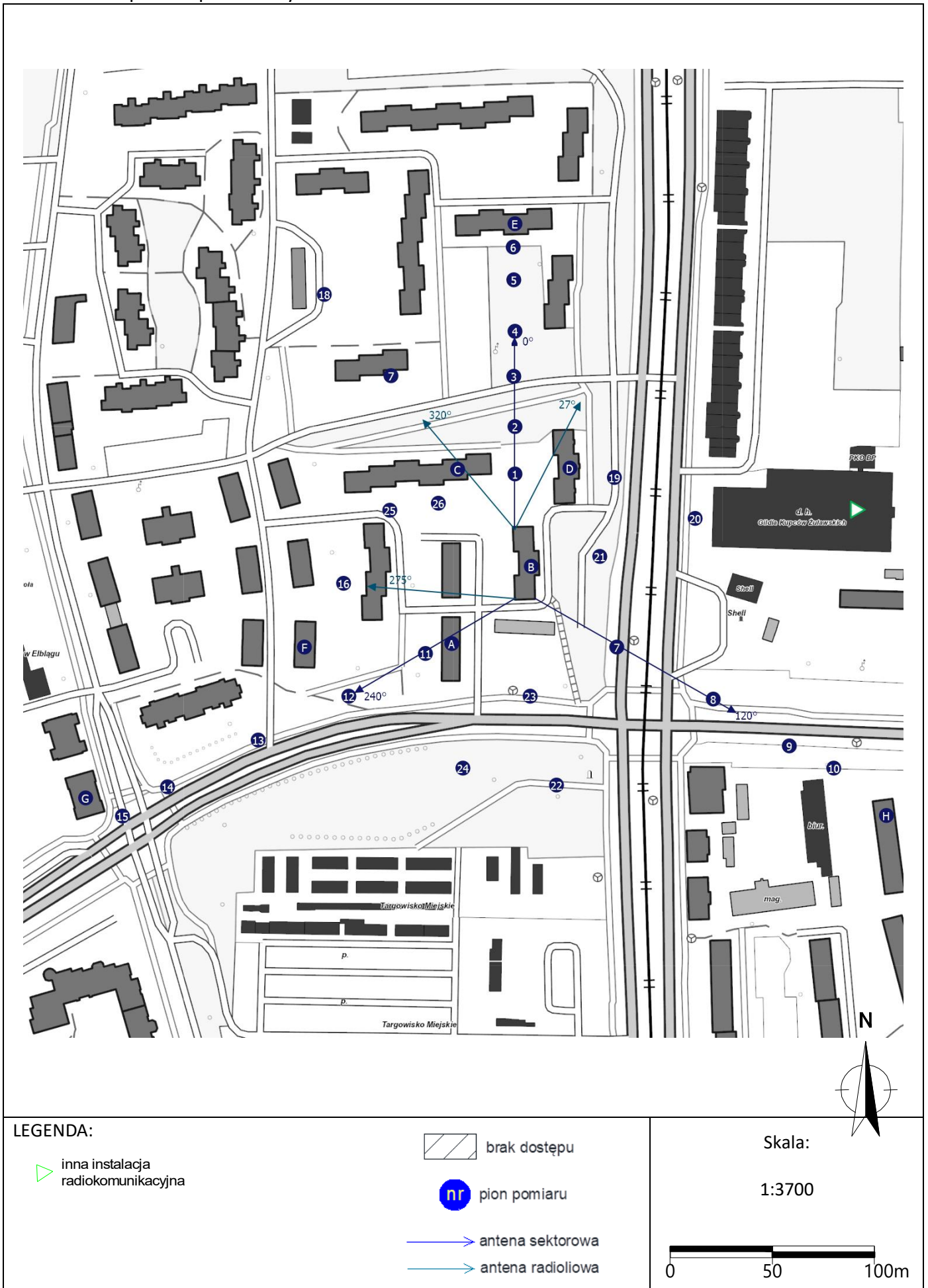
## Koniec sprawozdania

### Zał. 1. Lokalizacja obiektu



Współrzędne geograficzne	
długość:	19°24'13.90"E
szerokość:	54°10'44.80"N

## Załącznik 2. Widok pionów pomiarowych



Załącznik 3. Załączniki graficzne.

